

А. Г. ОВАНИСЯН, Р. Л. УРУТЯН

ОПЕРАЦИОННОЕ УСТРОЙСТВО

Специфика экспериментируемого алгоритма выдвинула необходимость создания операционного устройства, способного выполнять, наряду с традиционными операциями (сложение, сдвиг, взятие обратного кода и т. д.), также и специальные операции—поиск конструкции, подсчет единиц, ассоциативная выборка из словарей и т. д. ОУ состоит из логического узла (ЛУ), блока местного управления (блок МУ), сдвигающего устройства (СУ) и определителя конструкции (ОК). Первым трем из приведенных устройств посвящены отдельные параграфы настоящей статьи. Синтез схемы ОК выделен в отдельную статью [1].

§ 1. Логический узел

В настоящем параграфе дано описание основных узлов ЛУ, а также их технические характеристики, связи между собой и назначение каждого из них. Дальнейшее изложение материала в настоящей статье и в ряде последующих статей [1, 2, 3] предполагает знакомство читателя со структурой ЛУ, описанной в данном параграфе.

В состав логического узла (рис. 1) входят: регистры P_1, P_2, P_3, P_4 , индексные регистры RI_1, RI_2, RI_3, RI_4 , регистр обмена информацией PO , схема сравнения содержимого регистров RI_3 и RI_4 (включая триггер признака равенства—ТПР), схемы подсчета единиц в регистре P_3 и ряд небольших схем, нами спущенных.

Регистры P_1, P_2 и P_3 являются 32-разрядными регистрами. Каждый из них имеет общую для всех разрядов шину установки в нулевое состояние. Имеется возможность поразрядного сдвига содержимого этих регистров влево, а для регистра P_3 —также и вправо (время сдвига на один разряд равно 4 мксек). Эти регистры используются главным образом для выполнения следующих операций: поиска конструкции (ПК), образования логической суммы, умножения и отрицания двоичных наборов, подсчета числа единиц на P_3 (ПЕ), операции сложения «по mod 2» и сдвига. Кроме того, эти регистры совместно с регистром P_4 (его

старшими 32 разрядами) могут быть объединены в один длинный регистр—РД, в котором можно производить поразрядный сдвиг. В этом регистре младшим разрядом служит младший разряд регистра P_1 , а старшим разрядом—старший разряд регистра P_4 . Старшие разряды регистров P_1, P_2 и P_3 связаны со схемой ОК, где эти разряды проверяются при поиске конструкции. Старший разряд регистра P_3 , кроме того, связан с индексным регистром РИ₁, через схему ПЕ—эта связь используется в операции подсчета единиц. При выполнении команд записи из ДОЗУ в МБ или же выводе содержимого ДОЗУ на печатающее устройство регистр P_3 играет роль буферного регистра, осуществляющего эту связь. При этом передача содержимого P_3 в РО осуществляется с помощью шестиразрядной последовательно-параллельной связи.

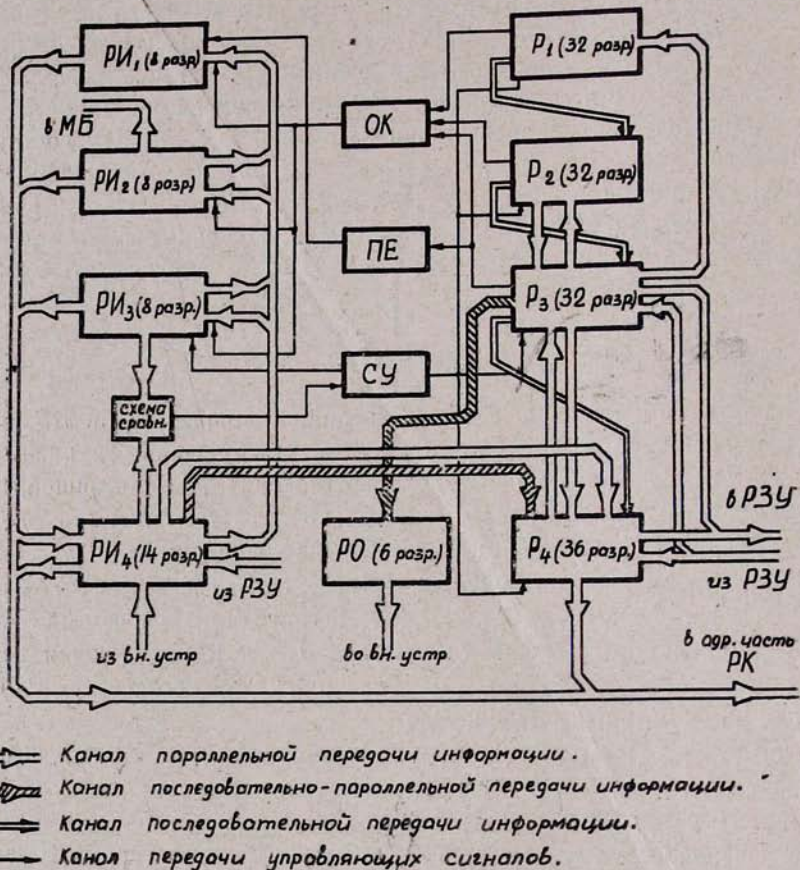


Рис. 1.

Регистр P_4 является 36-разрядным регистром-сумматором. Регистр этот также имеет общую для всех разрядов шину установки в нулевое состояние. В нем можно производить поразрядный сдвиг влево (время

одного сдвига—3 мксек). Имеется возможность проверять содержимое Р₄ на нуль. Этот регистр совместно с регистром Р₃ используется при выполнении операции логического умножения и сложения, операций сложения, вычитания, сложения «по mod 2» и в ряде других операций, не приведенных здесь. Результат этих операций выдается на регистр Р₄. Старшие 14 разрядов регистра Р₄ используются в качестве индексного регистра при формировании исполнительного адреса [4].

Регистры РИ₁, РИ₂, РИ₃ содержат по 8, а РИ₄—14 разрядов. Из них РИ₁ и РИ₃ являются также и счетчиками. Имеется возможность взятия обратного кода содержимого регистра РИ₁. Функциональная схема взаимодействия индексных регистров между собой и с другими регистрами и устройствами приведена на рис. 1.

Во время работы ОУ регистры РИ₁—РИ₄ используются при выполнении команд обмена информацией, а также команд, содержащих операцию сдвига. В регистрах РИ₁—РИ₃ получаются [4] номера компонент найденных конструкций при выполнении команд ПК. В регистре РИ₁ получается результат выполнения команды ПЕ. Во время работы СУ регистр РИ₃ выполняет роль счетчика циклов, а в РИ₄ (в младших 8 разрядах) хранится задающее число, т. е. число, указывающее, на сколько разрядов следует сдвинуть содержимое того или иного регистра. Старшие 6 разрядов РИ₄ используются при прохождении информации из внешних устройств машины через Р₄ в ДОЗУ. Все эти регистры во время работы УЦУ используются в качестве индексных регистров для формирования исполнительного адреса чтения или записи.

РО—шестиразрядный регистр, имеющий общую для всех разрядов шину установки на нуль. Регистр РО, как это было отмечено выше, связан с Р₃ шестиразрядной последовательно-параллельной связью приема и используется при выдаче информации внешним устройствам.

Схема сравнения регистров РИ₃ и РИ₄ производит сравнение на равенство содержимого регистра РИ₃ с содержимым младших 8 разрядов регистра РИ₄. Используется эта схема при работе СУ, а также при выполнении команд условного перехода.

§ 2. Синтез блока местного управления

Операции вычислительной машины—будь то универсальной или специализированной,—предусмотренные в командах (на языке которых составляются программы), могут потребовать для своего выполнения различное количество машинных тактов. Для определенности в дальнейшем эти операции будем называть машинными операциями. Реализация каждой машинной операции сводится к выполнению микропрограммы—последовательности более мелких операций, выполняемых в течение одного такта каждого. Такие операции будем называть микрооперациями. В свою очередь микрооперация может состоять из более простых, уже неделимых операций, называемых элементарными операциями. Составность элементарных операций составляет внутренний или техни-

ческий алфавит машины. Таким образом, машинные операции могут одновременно рассматриваться и как слова, состоящие из букв технического алфавита, и как буквы внешнего алфавита, с помощью которых составляются программы.

Назначение устройства управления состоит в преобразовании распоряжений программы, записанной в терминах внешнего алфавита, в термины внутреннего алфавита и реализации этих распоряжений. В настоящем параграфе рассматриваются вопросы членения машинных операций на микрооперации, минимизации полученных при этом микро-программ и составления тактовых функций на базе микропрограмм.

Было решено: там, где это приводит к упрощению схем, не проводить резкого разграничения между устройствами центрального управления и блоком местного управления ОУ. В связи с этим в ряде случаев произведено перераспределение (между этими двумя устройствами) схем, реализующих микропрограмму машинных команд.

Введем символы для обозначения элементарных операций.

„0“ $\rightarrow P_i$ — установка регистра P_i в нулевое состояние,

„1“ $\rightarrow P_i$ — установка регистра P_i в единичное состояние,

$P_i \rightarrow P_j$ — передача содержимого регистра P_i в регистр P_j , по единичному входу (логическое сложение),

$P_i + P_j$ — передача содержимого регистра P_i в регистр P_j , по счетному входу (сложение „по mod 2“),

„1“ $+ P_i$ — взятие обратного кода содержимого регистра P_i ,

„+n“ P_i — увеличение содержимого регистра P_i на n единиц,

Чт — посылка в ЗУ приказа о выборке слова,

$\Pi(M = N) \uparrow$ — логический оператор, проверяющий условие, заключенное внутри скобок: если оно выполнено, то управление передается по стрелке, если нет — то к соседнему справа символу,

\uparrow^A — посылка запускающего сигнала в устройство A ,

$A \downarrow$ — сигнал об окончании работы устройства A .

К элементарным операциям относятся также:

$\overset{\leftarrow}{P}_i$ — разрешение на сдвиг содержимого регистра P_i влево на один разряд,

\vec{P}_i — разрешение на сдвиг содержимого регистра P_i вправо на один разряд,

ΣP_i — разрешение на выдачу единицы переноса в регистре P_j .

Эти элементарные операции самостоятельно в машине не применяются. Первые две вырабатываются совместно с элементарной операцией „0“ P_i и образуют микрооперации:

$\overset{\leftarrow}{C}_d P_i$ — сдвиг содержимого P_i влево на один разряд

$$\overset{\leftarrow}{C}_d P_i = „0“ P_i \overset{\leftarrow}{P}_i \quad (i = 1, 2, 3),$$

$\vec{C}_x P_i$ — сдвиг содержимого P_i вправо на один разряд

$$\vec{C}_x P_i = „0“ P_i \vec{P}_i \quad (i = 3).$$

Элементарная операция $\sum P_j$ применяется совместно с элементарными операциями $P_i + P_j$ и „0“ P_j и образует микрооперации: $P_i + P_j \rightarrow P_j$ — суммирование содержимого P_i с содержимым P_j , с получением результата в P_j .

$$P_i + P_j \rightarrow P_j = (P_i + P_j) \sum P_j \quad (j = 4),$$

$\tilde{C}_x P_j$ — сдвиг содержимого сумматора P_j влево на один разряд

$$\tilde{C}_x P_j = „0“ P_j \sum P_j \quad (j = 4).$$

Построение схем, реализующих каждую машинную операцию в виде микропрограммы, проводится в два этапа. На первом этапе производится переход от содержательного представления задачи к формальному, когда по заданному списку микроопераций и логической структуре машины составляется микропрограмма, реализующая данную операцию. (Микропрограммы машинных операций приведены в табл. 1). На втором этапе производится оптимизация этих микропрограмм с тем, чтобы получить минимальные тупиковые формы переключательных функций как для каждой микрооперации, так и для совокупности микроопераций (всех машинных операций), выполняемых внутри одного и того же такта. Ниже приводится методика распределения по тактам микроопераций (входящих в микропрограммы), дающая возможность получить минимальное количество машинных тактов, требуемых для выполнения каждой из микропрограмм.

Определение. Будем говорить, что микрооперация a_i зависит от микрооперации a_j той же микропрограммы, если a_i обязательно должна предшествовать a_j .

Зависимость двух микроопераций обозначается стрелкой, проведенной от независимой операции к зависимой (стрелки при этом всегда направлены справа налево). Микрооперации в микропрограмме, связанные между собой последовательными стрелками, будем называть цепочкой микроопераций или, сокращенно, цепочкой. Крайнюю (правую) микрооперацию цепочки будем называть базовой. Номер микрооперации в цепочке, при пересчете слева направо, будем называть шаговым показателем микрооперации в микропрограмме (см. рис. 2).

Изменение взаимного расположения элементарных операций в микропрограмме, если это перемещение не приводит к изменению взаимного расположения элементарных операций в цепочках, не меняет реализуемую микропрограммой операцию. Кроме того, минимальное количество тактов, необходимых для выполнения данной микропрограммы, равно числу элементарных операций внутри цепочки с наибольшей длиной.

Таблица 1

Разбивка основных операций на элементарные операции

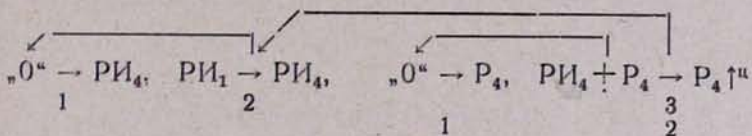
Операции.	Последовательность выполнения элементарных операций.
$P3Y \rightarrow P_3$	$D \rightarrow P_3, 4m, P3Y \rightarrow P_3, \uparrow^{4y}$
$P3Y \cdot P_3 \rightarrow P_3$	$4m, P3Y \rightarrow P_3, \uparrow^{4y}$
$\text{об.} P3Y \rightarrow P_3$	$D \rightarrow P_3, 4m, 1 \cdot P3Y \rightarrow P_3, \uparrow^{4y}$
$P3Y \wedge P_3 \rightarrow P_3$	$1 \cdot P_3, 4m, 1 \cdot P3Y \rightarrow P_3, 1 \cdot P_3, \uparrow^{4y}$
$P3Y \circ P_3 \rightarrow P_3$	$1 \cdot P_3, 4m, P3Y \rightarrow P_3, 1 \cdot P_3, \uparrow^{4y}$
$P3Y \rightarrow P_4$	$D \rightarrow P_4, 4m, P3Y \rightarrow P_4, \uparrow^{4y}$
$\text{об.} P3Y \rightarrow PH_4$	$D \rightarrow PH_4, 4m, P3Y \rightarrow PH_4, D \rightarrow PH_4, PH_4 \rightarrow PH_4, 1 \cdot PH_4, \uparrow^{4y}$
$P3Y \rightarrow PH_1$	$D \rightarrow PH_4, 4m, P3Y \rightarrow PH_4, D \rightarrow PH_1, PH_4 \rightarrow PH_1, \uparrow^{4y}$
$P3Y \rightarrow PH_2$	$D \rightarrow PH_4, 4m, P3Y \rightarrow PH_4, D \rightarrow PH_2, PH_4 \rightarrow PH_2, \uparrow^{4y}$
$P3Y \rightarrow PH_3$	$D \rightarrow PH_4, 4m, P3Y \rightarrow PH_4, D \rightarrow PH_3, PH_4 \rightarrow PH_3, \uparrow^{4y}$
$P3Y \rightarrow PH_4$	$D \rightarrow PH_4, 4m, P3Y \rightarrow PH_4, \uparrow^{4y}$
$P3Y \rightarrow PM$	$D \rightarrow PM_1, 4m, P3Y \rightarrow PM_1, \uparrow^{4y}$
PK	$D \rightarrow P_3, 4m, P3Y \rightarrow P_3, n(12PK \div 0)^{1/2} D \rightarrow P_3, P_3 \rightarrow P_2, D \rightarrow 12PK, +1^{\prime\prime} 8 \mid$ $n^{1/2}(13PK = 0) \uparrow^C D \rightarrow P_2, P_3 \rightarrow P_2, D \rightarrow 13PK, +1^{\prime\prime} 8 \uparrow^C$
PE	$D \rightarrow P_3, 4m, P3Y \rightarrow P_3, \uparrow^{4y}$
$P3Y \equiv$	$D \rightarrow P_3, 4m, P3Y \rightarrow P_3, \uparrow^{4y}$
	Общая часть микропрограммы для команд передачи управления имеет следующий вид: $P_1(A) \uparrow^C D \rightarrow T_1 = 1^{\prime\prime} 8 \uparrow^C 1 \rightarrow T_2 = 1^{\prime\prime} 8 (T=1) 3 + 4^{\prime\prime} PAK \uparrow^{4y}$ $\downarrow^C D \rightarrow PAK, A \rightarrow PAK \uparrow^{4y}$
$БЛ$	$A = 0$
$P_4 = 0$	$P_4 \neq 0$
$PH_1 = 0$	$PH_1 \neq 0$
$PH_3 = 0$	$PH_3 \neq 0$
$PH_4 = 0$	$PH_4 \neq 0$
$PH_3 = PH_4$	$PH_3 \neq PH_4$
$OP_4 = 1$	$OP_4 = 0$
$T_{OK} = 1$	$T_{OK} = 0$
$C_4.C = 40 \div 42PK$	$C_4.C = 40 \div 42PK$
$P_3 \rightarrow P3Y$	\uparrow^{4y}
$P_3 \rightarrow P3Y$	\uparrow^{4y}
$P_2 \vee P_3 \rightarrow P_3$	$P_2 \rightarrow P_3, \uparrow^{4y}$
$P_2 \vee P_3 \rightarrow P_3$	$P_2 \rightarrow P_3, \uparrow^{4y}$
$P_2 \wedge P_3 \rightarrow P_3$	$1 \cdot P_3, P_2 \rightarrow P_3, 1 \cdot P_3, \uparrow^{4y}$
$P_2 \wedge P_3 \rightarrow P_3$	$1 \cdot P_3, 1 \cdot P_4, P_2 \rightarrow P_3, 1 \cdot P_3, 1 \cdot P_4 \uparrow^{4y}$
$P_3 + P_4 \rightarrow P_4$	$P_3 + P_4 \rightarrow P_4, PCP_{41}, \uparrow^{4y}$
$P_3 \rightarrow P_3 \rightarrow P_4$	$1 \cdot P_3, P_3 \rightarrow P_4, PCP_{41}, +16^{\prime\prime} P_4, 1 \cdot P_3, \uparrow^{4y}$
$PH_3 \rightarrow PH_1$	$D \rightarrow PH_1, PH_3 \rightarrow PH_1, \uparrow^{4y}$
$PH_4 \rightarrow PH_1$	$D \rightarrow PH_1, PH_4 \rightarrow PH_1, \uparrow^{4y}$

Переход от микропрограммы (отмеченной стрелками) к тактовым функциям (см. ниже) производится следующим образом. Для каждой микропрограммы составляется таблица — тактова таблица микропрограммы, в которой столбцы соответствуют машинным тактам, а строчки — цепочкам микропрограммы. Количество столбцов таблицы берется равным наибольшему в данной микропрограмме шаговому показателю: количество строк берется равным количеству цепочек. Элементарные операции с одинаковыми шаговыми показателями располагаются в один и тот же столбец, номер которого численно равен шаговому показателю. После этого в случае, если это способствует упрощению синтезируемой схемы, производится сдвиг элементарной операции в соседнюю (пустую) клетку в горизонтальном направлении. Такой сдвиг производится многократно. При составлении тактовой таблицы удобно первой рассматривать наиболее длинную цепочку и при этом необходимо учитывать шаговый показатель базовой элементарной операции с наибольшим численным значением.

Например, пусть имеем микропрограмму, осуществляющую передачу $RI_1 \rightarrow P_4$,

$$"0" \rightarrow RI_4, \quad RI_1 \rightarrow RI_4, \quad "0" \rightarrow P_4, \quad RI_4 + P_4 \rightarrow P_4 \uparrow.$$

Проставив стрелки связи и подписав под каждой элементарной операцией шаговый показатель, получим:



Тактовая таблица для этой микропрограммы будет иметь вид:

Таблица 2

Цепоч ка	Макро такты		
	1	2	3
1	$"0" \rightarrow RI_4$	$RI_1 \rightarrow RI_4$	$RI_4 + P_4 \rightarrow P_4 \uparrow$
2		$"0" \rightarrow P_4$	

Или, учитывая, что с точки зрения получения минимальной переключательной функции выгоднее осуществить микрооперацию $"0" \rightarrow P_4$ в первом такте.

Таблица 3

1	2	3
$"0" \rightarrow RI_4$	$RI_1 \rightarrow RI_4$	$RI_4 + P_4 \rightarrow P_4 \uparrow$
$"0" \rightarrow P_4$		

Заметим, что одна микропрограмма может занимать несколько строк, в то время как для каждого такта отводится один столбец.

Далее, все тактовые таблицы, полученные для отведенных микропрограмм, объединяются в одну общую таблицу. Все микрооперации одного такта, взятые из общей тактовой таблицы и объединенные знаком дизъюнкции, будем называть тактовой функцией и обозначать F_k , где k — номер такта.

Следующим этапом является упрощение полученных тактовых функций, представляющих собой комбинационную схему со многими выходами. Синтез таких схем на импульсно-потенциальных элементах, где каждый клапан имеет два входа: для разрешающего сигнала (уровень потенциала) и для стробирующего сигнала (остроконечный импульс) несколько отличается от известных методов [5].

Приведенный ниже способ упрощения схем со многими выходами хотя и не претендует на универсальность или совершенство, тем не менее, на наш взгляд, является достаточно эффективным и удобным в практических целях. Суть способа заключается в следующем. Функция F_k со многими выходами $a_k^{(1)}, a_k^{(2)}, \dots, a_k^{(m)}$ записывается в виде дизъюнкции всех булевых функций $P_k^{(1)}, P_k^{(2)}, \dots, P_k^{(m)}$ элементарных операций, выполняемых во время k -го такта:

$$F_k = g_k \left(\frac{P_k^{(1)}}{a_k^{(1)}} \vee \frac{P_k^{(2)}}{a_k^{(2)}} \vee \dots \vee \frac{P_k^{(m)}}{a_k^{(m)}} \right), \quad (1)$$

после чего путем преобразований это выражение приводится к минимальной форме. В (1) через g_k обозначен сигнал, запускающий k -й такт схемы.

Минимизация выражения (1) производится с помощью группировки и вынесения общих членов за скобки. Тем самым общие части микропрограмм объединяются, и схема получается более компактной.

Все сложные функции (функции F_k) машины минимизированы с помощью описанного метода.

Приведенный способ записи, когда под функцией каждой из элементарных операций дан символ соответствующего выходного сигнала, делает дальнейшие преобразования F_k более удобными и, что самое главное, дает возможность после преобразования легко определять те места полученной схемы, с которых следует снимать выходные сигналы.

В заключение данного параграфа опишем способ, по которому осуществляется выбор кода каждой команды. Так как основные или дополнительные операции в каждой подгруппе [6] определяются тремя разрядами регистра РК (геометрическая интерпретация кодов операций представляет куб, вершины которого соответствуют кодам отдельных операций), то, чтобы представить функции элементарных операций в минимальных дизъюнктивных нормальных формах, коды машинных операций выбраны следующим образом:

1. Две машинные операции с одинаковыми микрооперациями имеют интервалы второго ранга.

2. Три или четыре машинные операции с одинаковыми микрооперациями имеют интервалы первого ранга.

Одновременно свободным кодам приписывались микрооперации, которые приводят к упрощению логической функции.

Ниже приводятся таблицы преобразованных микропрограмм (табл. 4), с помощью которых составлены тактовые функции для каждой элементарной операции (табл. 5). В табл. 5 через c_i обозначено единичное значение соответствующего разряда регистра РК.

Таблица 4

Случай $h_1 = 0$

Разряды РК		Обозначение операции	ТАКТЫ		
4,5	6,7,10		1	2	3
00	000	$P_3 \rightarrow P3Y$	—	—	\downarrow^{4y}
	001	$P_2 \vee P_3 \rightarrow P_3$	—	$P_2 \rightarrow P_3$	\downarrow^{4y}
	010	$P_4 \vee P_3 \rightarrow P_3$	—	$P_4 \rightarrow P_3$	\downarrow^{4y}
	011	$P_3 + P_4 \rightarrow P_4$	—	$P_3 + P_4; PCP_4$	\downarrow^{4y}
	100	Свободен	$1 \div P_3$	—	$1 + P_3 \downarrow^{4y}$
	101	$P_3 + P_2 \rightarrow P_3$	$1 \div P_3$	$P_4 \rightarrow P_3$	$1 + P_3 \downarrow^{4y}$
	110	$P_4 \wedge P_3 \rightarrow P_3$	$1 + P_3; 1 \div P_4$	$P_3 + P_4$	$1 + P_3; 1 + P_4 \downarrow^{4y}$
	111	$P_2 - P_3 \rightarrow P_4$	$1 + P_3$	$P_3 + P_4; \downarrow^{16} P_4; PCP_4$	$1 + P_3 \downarrow^{4y}$
01	000	ПК (\bar{h}_1)	\downarrow^{cy}	—	—
	001	ПЕ (\bar{h}_1)	$D \rightarrow PH_1; \downarrow^{cy}$	—	—
	010	$\bar{C}_9.P_3$	\downarrow^{cy}	—	—
	011	$\bar{C}_9.P_3$	\downarrow^{cy}	—	—
	100	ПК	\downarrow^{cy}	—	—
	101	$PRV \rightarrow P3Y$	$D \rightarrow CMC; \downarrow^{cy}$	—	—
	110	$\bar{C}_9.PD$	\downarrow^{cy}	—	—
	111	$\bar{C}_9.P_4$	\downarrow^{cy}	—	—
10	000	$PH_3 \rightarrow PH_1$	$D \rightarrow PH_1$	$PH_3 + PH_1$	\downarrow^{4y}
	001	об. $PH_3 \rightarrow PH_1$	$D \rightarrow PH_1; D \rightarrow PM$	$PH_3 + PH_1$	$1 + PH_1; \downarrow^{4y}$
	010	$PH_4 \rightarrow PH_1$	$D \rightarrow PH_1$	$PH_4 + PH_1$	\downarrow^{4y}
	011	об. $PH_4 \rightarrow PH_1$	$D \rightarrow PH_1; D \rightarrow PM$	$PH_4 + PH_1$	$1 + PH_1; \downarrow^{4y}$
	100	$PH_4 \rightarrow P_4$	$D \rightarrow P_4$	—	$PH_4 + P_4; \downarrow^{4y}$
	101	$PH_1 \rightarrow P_4$	$D \rightarrow PH_1; D \rightarrow P_4$	$PH_1 \rightarrow PH_4$	$PH_4 + P_4; \downarrow^{4y}$
	110	$PH_2 \rightarrow P_4$	$D \rightarrow PH_2; D \rightarrow P_4$	$PH_2 \rightarrow PH_4$	$PH_4 + P_4; \downarrow^{4y}$
	111	$PH_3 \rightarrow P_4$	$D \rightarrow PH_3; D \rightarrow P_4$	$PH_3 \rightarrow PH_4$	$PH_4 + P_4; \downarrow^{4y}$
11	000	Останов	—	—	—
	001	Останов по кл. 1	$\Pi(\text{кл.1}) \begin{cases} 0 & \downarrow^1 PAK \downarrow^{4y} \\ 1 & \Pi(\text{кл.1}) \end{cases}$	$D \downarrow^1 PAK \downarrow^{4y}$	—
	010	Останов по кл. 2	$\Pi(\text{кл.2}) \begin{cases} 0 & \downarrow^1 PAK \downarrow^{4y} \\ 1 & \Pi(\text{кл.2}) \end{cases}$	$D \downarrow^1 PAK \downarrow^{4y}$	—
	011	Останов по кл. 3	$\Pi(\text{кл.3}) \begin{cases} 0 & \downarrow^1 PAK \downarrow^{4y} \\ 1 & \Pi(\text{кл.3}) \end{cases}$	$D \downarrow^1 PAK \downarrow^{4y}$	—

Таблица 4 (прод.)

Случай $h_1 = 1$

Разряды P_3	Значения операций	ТАКты		
		1	2	3
0	0 0 0 $P3Y \rightarrow P_3$	$0 \rightarrow P_3; 4m.$	$P3Y \rightarrow P_3$	\uparrow^{4y}
	0 0 1 $P3Y \wedge P_3 \rightarrow P_3$	$4m.$	$P3Y \rightarrow P_3$	\uparrow^{4y}
	0 1 0 об $P3Y \rightarrow P_3$	$0 \rightarrow P_3; 4m.$	$1 \uparrow P3Y \rightarrow P_3$	\uparrow^{4y}
	0 1 1 Свободен	$4m.$	—	\uparrow^{4y}
	1 0 0 $P3Y \wedge P_3 \rightarrow P_3$	$1 \uparrow P_3; 4m.$	$P3Y \rightarrow P_3$	$1 \uparrow P_3 \uparrow^{4y}$
	1 0 1 Свободен	$1 \uparrow P_3; 4m.$	—	$1 \uparrow P_3 \uparrow^{4y}$
	1 1 0 $P3Y \wedge P_3 \rightarrow P_3$	$1 \uparrow P_3; 4m.$	$1 \uparrow P3Y \rightarrow P_3$	$1 \uparrow P_3 \uparrow^{4y}$
	1 1 1 Свободен	$1 \uparrow P_3; 4m.$	—	$1 \uparrow P_3$
	0 0 0 ПК	$0 \rightarrow P_3; 4m.$	$P3Y \rightarrow P_3$	$(42PK=1) \uparrow P_3 \rightarrow P_2; 1 \uparrow A; 0 \rightarrow 12PK \uparrow^I$
	1 0 0	$n \begin{cases} (42PK=1), 0 \rightarrow P_4 \\ (43PK=1), 0 \rightarrow P_2 \end{cases}$	$n \begin{cases} (42PK \vee 13PK=1) \uparrow^{cy} \\ (13PK=1) \end{cases}$	$n \begin{cases} (42PK=0) \uparrow^I \\ (13PK=1) \end{cases}; P_3 \rightarrow P_1; 1 \uparrow A; 0 \rightarrow 13PK \uparrow^I$
0 1	0 0 1 ПЕ	$0 \rightarrow P_3; 4m.$	$P3Y \rightarrow P_3 \uparrow^{cy}$	
	0 1 0 $\bar{C}_g P3Y$	$0 \rightarrow P_3; 4m.$	$P3Y \rightarrow P_3 \uparrow^{cy}$	
	0 1 1 $\bar{C}_g P3Y$	$0 \rightarrow P_3; 4m.$	$P3Y \rightarrow P_3 \uparrow^{cy}$	
	1 0 1 $P3Y \rightarrow PRV$	$0 \rightarrow P_3; 4m.$	$P3Y \rightarrow P_3 \uparrow^{cy}$	
	1 1 0 Свободен	$0 \rightarrow T_{np}$	—	$(T_{np}=1) \uparrow^I PAK \uparrow^{4y}$
1 0	1 1 1 $C_4M = 40 \div 42PK$	$0 \rightarrow T_{np}$	$n \begin{cases} (C_4MC=40 \div 42PK) \uparrow^I \uparrow^{\text{III}} \\ (T_{np}=0) \end{cases}$	$n \begin{cases} (T_{np}=1) \uparrow^I PAK \uparrow^{4y} \\ (T_{np}=0) \uparrow^I PAK; A \rightarrow PAK \uparrow^{4y} \end{cases}$
	0 0 0 $P3Y \rightarrow P_4$	$0 \rightarrow P_4; 4m.$	$P3Y \uparrow P_4$	\uparrow^{4y}
	0 0 1 об $P3Y \rightarrow PH_1$	$0 \rightarrow PH_1; 0 \rightarrow PH_4; 4m.$	$1 \uparrow PH_1; P3Y \rightarrow PH_4$	$PH_4 \uparrow PH_1 \uparrow^{4y}$
	0 1 0 Свободен	$0 \rightarrow PH_2; 4m.$	—	\uparrow^{4y}
	0 1 1 $P3Y \rightarrow PM$	$0 \rightarrow PM; 4m.$	$P3Y \uparrow PM$	\uparrow^{4y}
	1 0 0 $P3Y \rightarrow PH_4$	$0 \rightarrow PH_4; 4m.$	$P3Y \rightarrow PH_4$	\uparrow^{4y}
	1 0 1 $P3Y \rightarrow PH_1$	$0 \rightarrow PH_4; 0 \rightarrow PH_1; 4m.$	$P3Y \rightarrow PH_4$	$PH_4 \uparrow PH_1 \uparrow^{4y}$
	1 0 1 $P3Y \rightarrow PH_2$	$0 \rightarrow PH_4; 0 \rightarrow PH_2; 4m.$	$P3Y \rightarrow PH_4$	$PH_4 \uparrow PH_2 \uparrow^{4y}$
1 1	1 1 1 $P3Y \rightarrow PH_3$	$0 \rightarrow PH_4; 0 \rightarrow PH_3; 4m.$	$P3Y \rightarrow PH_4$	$PH_4 \uparrow PH_3 \uparrow^{4y}$
	0 0 0 БП	$0 \rightarrow T_{np}$	—	$T_{np}=0; \uparrow^I PAK \uparrow^{4y}$
	0 0 1 $T_{ok} = 1$		$T_{ok} \rightarrow T_{np}$	
	0 1 0 $P_4 = 0$		$n(P_4=0) \uparrow^{\text{III}}, 1 \rightarrow T_{np}$	
	0 1 1 $PH_1 = 0$		$n(PH_1=0) \uparrow^{\text{III}}, 1 \rightarrow T_{np}$	
	1 0 0 $DP_4 = 1$		$0P_4 \rightarrow T_{np}$	
	1 0 1 $PH_3 = PH_4$		$n(PH_3=PH_4) \uparrow^{\text{III}}, 1 \rightarrow T_{np}$	
	1 1 0 $PH_3 = 0$		$n(P_3=0) \uparrow^{\text{III}}, 1 \rightarrow T_{np}$	
	1 1 1 $PH_4 = 0$		$n(PH_4=0) \uparrow^{\text{III}}, 1 \rightarrow T_{np}$	

Первый такт

Таблица 5

Полковская функция	Полковская функция элементарной операции	Элементарная операция
$f_1^{(1)}$	$h_1 \bar{C}_4 (\bar{C}_6 \cdot \bar{C}_7) \cdot \bar{C}_{10}$	Чт.
$f_2^{(1)}$	$h_1 \bar{C}_4 [C_5 (\bar{C}_6 \cdot \bar{C}_7) \cdot \bar{C}_6 \bar{C}_{10}]$	$D \rightarrow P_3$
$f_3^{(1)}$	$h_1 C_4 C_5 \bar{C}_6 \bar{C}_7 C_{10} + h_1 C_4 \bar{C}_5 C_6$	$D \rightarrow P_4$
$f_4^{(1)}$	$\bar{C}_4 \bar{C}_5 C_6$	$\cdot f \dagger P_3$
$f_5^{(1)}$	$h_1 \bar{C}_4 C_5 \bar{C}_6 \bar{C}_7 C_{10} \cdot \bar{h}_1 \bar{C}_4 C_5 \bar{C}_6 \bar{C}_7 C_{10} \cdot C_6 (h_1 \bar{C}_7 C_{10} \cdot \bar{h}_1 C_6)$	$D \rightarrow PM_1$
$f_6^{(1)}$	$h_1 C_4 \bar{C}_5 C_6 C_7 \bar{C}_{10}$	$D \rightarrow PM_2$
$f_7^{(1)}$	$h_1 C_4 C_5 C_6 C_7 C_{10}$	$D \rightarrow PM_3$
$f_8^{(1)}$	$h_1 C_4 \bar{C}_5 (C_6 \cdot \bar{C}_7 C_{10}) \cdot \bar{h}_1 C_4 \bar{C}_5 C_6 (C_7 \cdot C_{10})$	$D \rightarrow PM_4$
$f_9^{(1)}$	$h_1 C_5 (C_4 \cdot C_6 C_7)$	$D \rightarrow T_1$
$f_{10}^{(1)}$	$h_1 C_4 \bar{C}_5 \bar{C}_6 C_{10} \cdot \bar{h}_1 C_4 \bar{C}_5 \bar{C}_6 C_{10}$	$D \rightarrow PM$
$f_{11}^{(1)}$	$\bar{h}_1 \bar{C}_4 \bar{C}_5 C_6 C_7 \bar{C}_{10}$	$\cdot f \dagger P_4$
$f_{12}^{(1)}$	$\bar{h}_1 \bar{C}_4 C_5 (\bar{C}_6 \cdot C_7 \bar{C}_{10})$	f^{cy}
$f_{13}^{(1)}$	$\bar{h}_1 (C_4 \cdot C_5) \cdot h_1 C_5 (C_4 \cdot C_6 C_7)$	$\uparrow \text{шт.}$
$f_{14}^{(1)}$	$\bar{h}_1 \bar{C}_4 C_5 C_6 \bar{C}_7 C_{10}$	$\uparrow \text{шт.}$

Второй такт

Полковская функция	Полковская функция элементарной операции	Элементарная операция
$f_1^{(2)}$	$h_1 \bar{C}_4 (C_5 \bar{C}_6 \cdot \bar{C}_7)$	$P3Y \rightarrow P_3$
$f_2^{(2)}$	$h_1 \bar{C}_4 \bar{C}_5 C_6 \bar{C}_7 \bar{C}_{10}$	$\cdot f \dagger P3Y$
$f_3^{(2)}$	$h_1 C_4 \bar{C}_5 C_6 C_7 \bar{C}_{10}$	$P3Y \rightarrow P_4$
$f_4^{(2)}$	$h_1 \bar{C}_4 C_5 C_6 \bar{C}_7 \bar{C}_{10} (C_{12} \cdot C_{13})$	$\cdot f \dagger A$
$f_5^{(2)}$	$h_1 \bar{C}_4 C_5 C_6 C_7 C_{10}$	$\Pi(C_6 C_{14} C_{15} + C_6 C_{16} + C_6 C_{17})$
$f_6^{(2)}$	$h_1 C_2 C_4 C_5 \bar{C}_6 \bar{C}_7 C_{10}$	$\cdot f^{\text{ок}} \rightarrow T_1$
$f_7^{(2)}$	$h_1 C_3 C_4 C_5 C_6 \bar{C}_7 \bar{C}_{10}$	$\cdot f^{\text{OPK}} \rightarrow T_1$
$f_8^{(2)}$	$\bar{h}_1 \bar{C}_4 \bar{C}_5 C_6 C_7 C_{10}$	$\cdot f^{\text{16}} P_4$
$f_9^{(2)}$	$\bar{h}_1 \bar{C}_4 \bar{C}_5 C_6 C_7 \bar{C}_{10}$	PCP_4
$f_{10}^{(2)}$	$h_1 C_4 C_5 \bar{C}_6 C_7 C_{10}$	$\cdot f^{\text{17}} PM_1$
$f_{11}^{(2)}$	$h_1 C_4 C_5 \bar{C}_6 C_7 \bar{C}_{10}$	$\Pi(P_4 = 0)$
$f_{12}^{(2)}$	$h_1 C_4 C_5 C_6 \bar{C}_7 C_{10}$	$\Pi(PM_3 = PM_4)$
$f_{13}^{(2)}$	$h_1 \bar{C}_4 \bar{C}_5 \bar{C}_6 \bar{C}_7 C_{10}$	$P_2 \rightarrow P_3$
$f_{14}^{(2)}$	$h_1 C_4 \bar{C}_5 C_6 \bar{C}_7 \bar{C}_{10}$	$P_2 \rightarrow P_3$
$f_{15}^{(2)}$	$\bar{h}_1 \bar{C}_4 \bar{C}_5 C_6 \bar{C}_7 C_{10}$	$P_3 \rightarrow P_4$
$f_{16}^{(2)}$	$\bar{h}_1 C_4 \bar{C}_5 \bar{C}_6 \bar{C}_7$	$PM_3 \rightarrow PM_1$
$f_{17}^{(2)}$	$\bar{h}_1 C_4 \bar{C}_5 C_6 C_7$	$PM_4 \rightarrow PM_1$
$f_{18}^{(2)}$	$\bar{h}_1 C_4 \bar{C}_5 C_6 \bar{C}_7 C_{10}$	$PM_1 \rightarrow PM_4$
$f_{19}^{(2)}$	$\bar{h}_1 C_4 \bar{C}_5 C_6 C_7 \bar{C}_{10}$	$PM_2 \rightarrow PM_4$
$f_{20}^{(2)}$	$h_1 C_4 \bar{C}_5 C_6 C_7 C_{10}$	$PM_3 \rightarrow PM_4$
$f_{21}^{(2)}$	$h_1 C_4 C_5 (C_6 \cdot \bar{C}_7 C_{10})$	$P3Y \rightarrow PM_4$
$f_{22}^{(2)}$	$h_1 C_4 \bar{C}_5 C_6 \bar{C}_7 C_{10}$	$P3Y \rightarrow PM$
$f_{23}^{(2)}$	$h_1 C_4 \bar{C}_5 C_6 \bar{C}_7 C_{10}$	PM_1
$f_{24}^{(2)}$	$h_1 C_4 C_5 C_{12} \bar{C}_{13} \bar{C}_{15}$	$\cdot D \rightarrow P_4$
$f_{25}^{(2)}$	$C_5 \cdot (C_4 \cdot C_6 (C_7 \cdot C_{10})) (h_1 h_3 (C_7 \cdot C_{10}))$	$\uparrow \text{шт.}$
$f_{26}^{(2)}$	$\bar{h}_1 C_4 C_5$	Проверка истинности по на
$f_{27}^{(2)}$	$h_1 \bar{C}_4 C_5 (\bar{C}_7 \bar{C}_{10} \bar{C}_{12} \bar{C}_{13} \bar{C}_6 (C_7 \cdot C_{10}))$	$\uparrow 4^{\text{у}}$
$f_{28}^{(2)}$		$\uparrow \text{cy}$

Таблица 5 (прод.)

Третий такт

Тактовая функция	Тактовая функция элементарной операции.	Элементарная операция
$f_1^{(4)}$	$\bar{C}_4 \bar{C}_5 C_6$	"1" + P_3
$f_2^{(4)}$	$\bar{h}_1 C_4 \bar{C}_5 \bar{C}_6 C_{10}$	"1" + PI_1
$f_3^{(4)}$	$h_1 C_5 C_{13} \bar{C}_{15} (C_4 \vee C_6 C_7)$:1" $C_4 C$
$f_4^{(4)}$	$h_1 C_5 \bar{C}_{11} C_{15} (C_4 \vee C_6 C_7)$	$O \rightarrow C_4 C$
$f_5^{(4)}$	$h_1 C_5 \bar{C}_{15} (C_4 \vee C_6 C_7)$	$O \rightarrow PAK$
$f_6^{(4)}$	$h_1 C_4 C_5 C_6 C_7 C_{10}$:1" PM
$f_7^{(4)}$	$h_1 C_4 C_5 C_{12} \bar{C}_{13} \bar{C}_{15}$	$PAK \rightarrow P_4$
$f_8^{(4)}$	$h_1 C_4 C_5 C_{12} \bar{C}_{13} \bar{C}_{15}$:16" P_4
$f_9^{(4)}$	$h_1 C_4 C_5 C_{12} \bar{C}_{13} \bar{C}_{15}$	PCP_4
$f_{10}^{(4)}$	$\bar{h}_1 \bar{C}_4 \bar{C}_5 C_6 C_7 \bar{C}_{10}$:1" + P_4
$f_{11}^{(4)}$	$\bar{h}_1 C_4 \bar{C}_5 C_6$	$PI_4 \rightarrow P_4$
$f_{12}^{(4)}$	$h_1 C_4 \bar{C}_5 C_7 C_{10}$	$PI_4 \rightarrow PI_1$
$f_{13}^{(4)}$	$h_1 C_4 \bar{C}_5 C_6 C_7 \bar{C}_{10}$	$PI_4 \rightarrow PI_2$
$f_{14}^{(4)}$	$h_1 C_4 \bar{C}_5 C_6 C_7 C_{10}$	$PI_4 \rightarrow PI_3$
$f_{15}^{(4)}$	$h_1 C_5 C_{12} \bar{C}_{13} \bar{C}_{15} (C_4 \vee C_6 C_7)$	"1" + $C_4 C$
$f_{16}^{(4)}$	$(\bar{C}_4 \vee \bar{C}_5) \bar{C}_H C_{12} C_{13}$	$O \rightarrow P_1$
$f_{17}^{(4)}$	$(\bar{C}_4 \vee \bar{C}_5) \bar{C}_H C_{12} C_{13}$	$O \rightarrow P_2$
$f_{18}^{(4)}$	$\bar{C}_4 \vee \bar{C}_5 \bar{C}_H C_{12} C_{13}$	$O \rightarrow P_4$
$f_{19}^{(4)}$	$h_1 \bar{C}_4 C_5 C_6 \bar{C}_7 C_{10}$	↑ НУВУ
$f_{20}^{(4)}$	$h_1 C_5 C_6 C_7 C_{15}$	"1" PAK
$f_{21}^{(4)}$	$\bar{C}_5 \vee h_1 C_5 C_{15} (C_4 \vee C_6 C_7)$	↑ "4"
$f_{22}^{(4)}$	$\bar{h}_1 C_4 C_5 C_{12} \bar{C}_{13} C_{15}$	"1" → 24,5 P_4
$f_{23}^{(4)}$	1	↑ T .

Таблица 5 (прод.)

Четвертый такт

Тактовая функция	Тактовая функция элементарной операции.	Элементарная операция
$f_1^{(4)}$	$(\bar{C}_4 \vee \bar{C}_5) C_{12} C_{13}$	$P_3 \rightarrow P_1$
$f_2^{(4)}$	$(\bar{C}_4 \vee \bar{C}_5) \bar{C}_{12} C_{13}$	$P_3 \rightarrow P_2$
$f_3^{(4)}$	$\bar{C}_4 \vee \bar{C}_5 C_{12} \bar{C}_{13}$	$P_3 \rightarrow P_4$
$f_4^{(4)}$	$\bar{C}_4 C_5 \bar{C}_7 \bar{C}_{10} \bar{C}_{12} C_{13}$	$O \rightarrow 13PK$
$f_5^{(4)}$	$\bar{C}_4 C_5 \bar{C}_7 \bar{C}_{10} C_{12} C_{13}$	$O \rightarrow 12PK$
$f_6^{(4)}$	$h_1 C_5 C_{15} (C_4 \vee C_6 C_7)$	$A \rightarrow PAK$
$f_7^{(4)}$	$h_1 C_5 C_{12} C_{13} C_{15} (C_4 \vee C_6 C_7)$	"1" + $C_4 C$
$f_8^{(4)}$	$\bar{C}_4 C_5 C_7 \bar{C}_{10}$	"1" A

О б о з н а ч е н и я

$$h_1 = c_0 \vee c_1 \vee c_2; \quad n_2 = c_{14} \vee c_{15},$$

а также

$$\begin{array}{ll} h_3 = \bar{c}_4 \bar{c}_5; & h_7 = \bar{c}_7 \bar{c}_{10}; \\ h_4 = \bar{c}_4 h_5; & h_8 = \bar{c}_7 c_{10}; \\ h_5 = c_4 \bar{c}_5; & h_9 = c_7 \bar{c}_{10}; \\ h_6 = c_4 c_5; & h_{10} = c_7 c_{10}. \end{array}$$

Из тактовых функций элементарных операций (табл. 5) путем применения описанной выше методики получим объединенные тактовые функции:

$$\begin{aligned} F_1 = & h_1 \left[\bar{c}_3 \left[\frac{1}{f_{1-1}} \vee c_4 \left(\frac{h_9}{f_{1-6}} \vee \frac{c_6}{f_{1-8}} \vee \left(\frac{1}{f_{1-5}} \vee \frac{1}{f_{1-8}} \right) \vee \right. \right. \right. \\ & \left. \left. \left. \vee \bar{c}_6 \left(\frac{h_7}{f_{1-3}} \vee \frac{c_{10}}{f_{1-10}} \right) \right) \right] \vee \bar{c}_4 \left[\bar{c}_6 \left(\frac{1}{f_{1-1}} \vee \frac{\bar{c}_{10}}{f_{1-2}} \right) \vee c_5 \bar{c}_6 \left(\frac{1}{f_{1-2}} \vee \frac{h_8}{f_{1-5}} \right) \vee \right. \\ & \left. \left. \vee \bar{c}_7 \left(\frac{1}{f_{1-1}} \vee \frac{\bar{c}_5}{f_{1-2}} \right) \right] \vee c_6 c_7 \left[\frac{c_4 c_{10}}{f_{1-7}} \vee c_5 \left(\frac{1}{f_{1-9}} \vee \frac{1}{f_{1-13}} \right) \right] \vee \right. \\ & \left. \left. \vee h_6 \left(\frac{1}{f_{1-9}} \vee \frac{1}{f_{1-3}} \right) \right] \vee \bar{h}_1 \left\{ h_4 \left[\frac{h_7}{f_{1-12}} \vee \frac{c_6 h_8}{f_{1-14}} \vee \bar{c}_6 \left(\frac{h_8}{f_{1-5}} \vee \frac{1}{f_{1-12}} \right) \right] \vee \right. \right. \\ & \left. \left. \vee \bar{c}_5 \left[c_4 \bar{c}_6 \left(\frac{1}{f_{1-5}} \vee \frac{c_{10}}{f_{1-10}} \right) \vee c_6 \left(\frac{\bar{c}_4 h_9}{f_{1-11}} \vee c_4 \left(\frac{1}{f_{1-3}} \vee \frac{c_7 \vee c_{10}}{f_{1-8}} \right) \right) \right] \right\} \vee \frac{h_3 c_6}{f_{1-4}}, \right. \\ F_2 = & h_1 \left\{ \frac{c_6 (c_7 \vee c_{10})}{f_{2-5}} \vee c_4 \left[\frac{1}{f_{2-25}} \vee c_5 \left(\frac{c_{12} \bar{c}_{13} \bar{c}_{15}}{f_{2-24}} \vee c_6 \left(\frac{c_3 h_7}{f_{2-7}} \vee \frac{h_9}{f_{2-12}} \right) \vee \right. \right. \right. \\ & \left. \left. \left. \vee \bar{c}_6 \left(\frac{h_9}{f_{2-11}} \vee c_{10} \left(\frac{c_2 \bar{c}_7}{f_{2-6}} \vee \frac{c_7}{f_{2-10}} \right) \right) \right) \right] \vee \bar{c}_5 \left(\frac{c_6 \vee h_8}{f_{2-21}} \vee \bar{c}_8 \left(\frac{h_{10}}{f_{2-22}} \vee \bar{c}_7 \left(\frac{c_{10}}{f_{2-3}} \vee \frac{\bar{c}_{10}}{f_{2-23}} \right) \right) \right) \right] \vee \bar{c}_4 \left[\frac{\bar{c}_5 h_9}{f_{2-2}} \vee \right. \\ & \left. \left. \vee \bar{c}_3 \left(\frac{c_6 h_{10}}{f_{2-5}} \vee \bar{c}_6 \left(\frac{1}{f_{2-1}} \vee \frac{c_7 \vee c_{10}}{f_{2-27}} \right) \vee h_7 \left(\frac{c_{12} \vee c_{13}}{f_{2-4}} \vee \frac{\bar{c}_{12} \bar{c}_{13}}{f_{2-27}} \right) \right) \right] \vee \frac{\bar{c}_7}{f_{2-1}} \right\} \vee \\ & \vee \bar{h}_1 \left\{ \frac{h_6}{f_{2-26}} \vee \bar{c}_5 \left[c_4 \left(c_6 \left(\frac{h_8}{f_{2-18}} \vee \frac{h_9}{f_{2-19}} \vee \frac{h_{10}}{f_{2-20}} \right) \vee \bar{c}_6 \left(\frac{\bar{c}_7}{f_{2-16}} \vee \frac{c_7}{f_{2-17}} \right) \right) \right] \vee \right. \\ & \left. \left. \vee \bar{c}_4 \left(\frac{h_9}{f_{2-14}} \vee c_{10} \left(\frac{\bar{c}_7}{f_{2-13}} \vee c_7 \left(\frac{c_8}{f_{2-8}} \vee \frac{1}{f_{2-9}} \vee \frac{1}{f_{2-15}} \right) \right) \right) \right] \right\} \vee \frac{\bar{c}_5 q (c_7 \vee c_{10})}{f_{2-25}}, \end{aligned}$$

$$\begin{aligned}
F_3 = & \bar{c}_5 \left\{ \frac{1}{f_{3-21}} \vee c_6 \left[\frac{c_4}{f_{3-1}} \vee \bar{h}_1 \left(\frac{c_4}{f_{3-11}} \vee \frac{c_4 h_9}{f_{3-10}} \right) \right] \right\} \vee \\
& \vee h_1 \left\{ c_5 \left| c_4 \left(\frac{\bar{c}_6 h_{10}}{f_{3-6}} \vee \bar{c}_{15} \left(c_{13} \left(\frac{1}{f_{3-3}} \vee \frac{c_{12}}{f_{3-15}} \right) \vee \frac{1}{f_{3-5}} \right) \right) \right. \right. \right. \vee \\
& \left. \left. \left. \vee c_{12} \bar{c}_{13} \left(\frac{1}{f_{3-7}} \vee \frac{1}{f_{3-8}} \vee \frac{1}{f_{3-9}} \right) \vee c_{15} \left(\frac{1}{f_{3-21}} \vee \frac{c_{11}}{f_{3-6}} \right) \right) \right) \vee \\
& \vee c_6 c_7 \left(\bar{c}_{15} \left(c_{13} \left(\frac{1}{f_{3-3}} \vee \frac{c_{12}}{f_{3-15}} \right) \vee \frac{1}{f_{3-5}} \right) \vee c_{15} \left(\frac{\bar{c}_{11}}{f_{3-4}} \vee \frac{1}{f_{3-20}} \vee \frac{1}{f_{3-21}} \right) \right) \right) \vee \\
& \vee h_5 \left[\frac{h_8}{f_{2-2}} \vee c_6 c_7 \left(\frac{\bar{c}_{10}}{f_{3-13}} \vee \frac{c_{10}}{f_{3-14}} \right) \right] \vee \frac{h_4 h_5 c_6}{f_{1-19}} \} \vee \\
& \vee \bar{c}_{11} (\bar{c}_4 \vee \bar{c}_5) \left(\frac{c_{12} \cdot c_{13}}{f_{3-17}} \vee c_{12} \left(\frac{\bar{c}_{13}}{f_{3-18}} \vee \frac{c_{13}}{f_{3-16}} \right) \right) \vee \frac{\bar{h}_1 h_5 \bar{c}_6 c_{10}}{f_{3-2}}, \\
F_4 = & h_4 h_7 \left[\frac{1}{f_{4-8}} \vee c_{13} \left(\frac{\bar{c}_{12}}{f_{4-4}} \vee \frac{c_{12}}{f_{4-5}} \right) \right] \vee \\
& \vee (\bar{c}_4 \vee \bar{c}_5) \left(\frac{\bar{c}_{12} c_{13}}{f_{4-2}} \vee c_{12} \left(\frac{c_{13}}{f_{4-1}} \vee \frac{\bar{c}_{13}}{f_{4-3}} \right) \right) \vee \\
& \vee h_1 c_5 (c_4 \vee c_6 c_7) \left(\frac{c_{15}}{f_{4-6}} \vee \frac{c_{12} c_{13} \bar{c}_{15}}{f_{4-7}} \right).
\end{aligned}$$

На рис. 2 приведена блок-схема местного управления

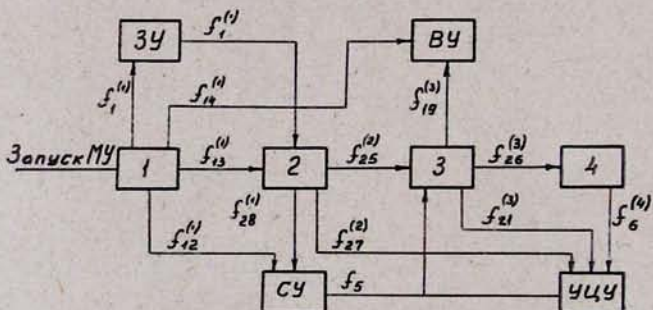


Рис. 2.

§ 3. Сдвигающее устройство

Сдвигающее устройство предназначено для управления процессом поразрядного сдвига содержимого регистров операционного устройства. Основные требования, предъявляемые к СУ, заключаются в том, что сдвигающее устройство, начиная с момента запуска, должно выдавать

сигналы сдвигов до тех пор, пока не будет выполнено нужное количество сдвигов, предусмотренное в данной команде или вытекающее из конкретных условий ее реализации. После этого СУ должно прекратить свою работу и передать управление другим узлам машины.

Схема, отвечающая приведенным выше требованиям, реализована в виде автомата и комбинационной схемы, формирующей выходные сигналы СУ.

Автомат* имеет входной алфавит $X(x_1, x_2)$ (где x_1 означает, что необходимо произвести очередной сдвиг, и x_2 — процесс сдвигов необходи́мо прекратить), множество внутренних состояний $U(u_0, u_1)$ (где u_0 — начальное состояние и u_1 — состояние, при котором выдаются выходные сигналы) и выходной алфавит $Y(y_0, y_1)$ (где y_0 — сигнал об окончании работы СУ и y_1 — комплекс выходных сигналов автомата). Состояние u_1 содержит ряд промежуточных состояний $u_1^{(1)}, \dots, u_1^{(4)}$, выполненных на элементах задержки. Соответственно комплекс выходных сигналов y_1 состоит из сигналов $y_1^{(1)}, \dots, y_1^{(4)}$. Эти сигналы после прохождения через соответствующие комбинационные схемы (см. ниже) образуют выходные сигналы СУ, которые осуществляют микропрограмму сдвигов.

В результате будем иметь:

для множества внутренних состояний

$$U[u_0, u_1(u_1^{(1)}, u_1^{(2)}, u_1^{(3)}, u_1^{(4)})],$$

для выходного алфавита

$$Y[y_0, y_1(y_1^{(1)}, y_1^{(2)}, y_1^{(3)}, y_1^{(4)})].$$

Граф описанного автомата приведен на рис. 3.

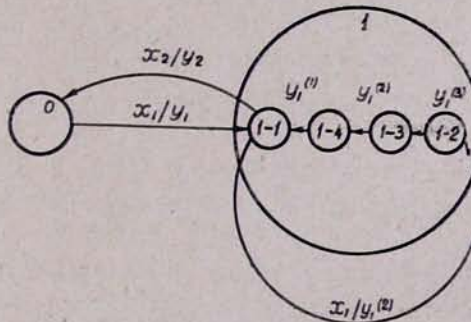


Рис. 3. Граф автомата СУ.

Кодировка состояний автомата произведена согласно следующей таблице.

* Описание синтеза автомата ввиду его простоты опущено.

Во время работы СУ используются: регистр РИ₃, играющий роль счетчика циклов, регистр РИ₄, в котором задается число, указывающее на количество сдвигов, схема сравнения на равенство содержимого этих регистров и, наконец, схема управления работой СУ.

Таблица 6

Элементы автомата	τ_{cy}	τ_1	τ_2	τ_3	τ_4
U_0	0	0	0	0	0
U_1	1	1	0	0	0
$U_1^{(1)}$	1	0	1	0	0
$U_1^{(2)}$	1	0	0	1	0
$U_1^{(3)}$	1	0	0	0	1

Работа автомата заключается в следующем. После запуска СУ в последнем возникает импульс, который при каждом прохождении через элементы замкнутой цепочки $\tau_1 - \tau_2$ будет выдавать сигналы, соответствующие выполняемой команде. Этот процесс повторяется до тех пор, пока не будет произведено нужное количество сдвигов, после чего под действием возникшей при этом входной буквы x_2 автомат перейдет в состояние u_0 и будет выдан сигнал y_0 .

Цикл работы автомата по характеру выполняемых им функций можно разбить на два этапа—подготовительный и основной. Во время подготовительного этапа производится установка схемы СУ в начальное состояние (при запуске извне), анализ на равенство содержимого регистров РИ₃ и РИ₄ и в случае необходимости—установка триггера ТСУ в нулевое состояние. До окончания подготовительного этапа триггер ТСУ может быть установлен в нулевое состояние также в следующих случаях:

- при выполнении команд ПК, если конструкция найдена;
- при выполнении команды ПКИ (двухкомпонентной), если конструкция не найдена;
- при переполнении счетчика циклов, т. е. после 32-го сдвига.

Во время основного этапа работы автомата СУ происходит выдача следующих управляющих сигналов: сигнала, запускающего схему определителя конструкции, сигналов сдвига содержимого регистров Р₁, Р₂, Р₃, Р₄ и РД и, наконец, сигнала прибавления единицы к содержимому счетчика циклов РИ₃. Из сказанного следует, что элементарные автоматы, из которых составлен рассматриваемый автомат СУ, должны одновременно учитывать:

τ_1 — время, необходимое для проведения проверки на равенство содержимого регистров РИ₃ и РИ₄;

τ_2 — время, необходимое для проверки старших разрядов регистров операционного устройства схемой ОК;

τ_3 — время, необходимое для полной работы ОК, так как (см. ниже) при прибавлении к счетчику секции единицы необходимо учесть результат поиска конструкции;

τ_4 — время установки счетчика циклов.

На рис. 4 дана примерная временная диаграмма работы СУ. Определение параметров линии задержек можно сделать после того, как будут известны конкретные логические схемы СУ. Однако уже на этой диаграмме видны основные условия, которым должны удовлетворять элементы задержек. А именно: как это видно из диаграммы, установка триггера ТСУ в единичное состояние должна завершиться до окончания процесса сравнения содержимых РИ₃ и РИ₄. Далее, установка триггера ТСУ в нулевое состояние должна быть закончена до наступления момента времени τ_1^* .

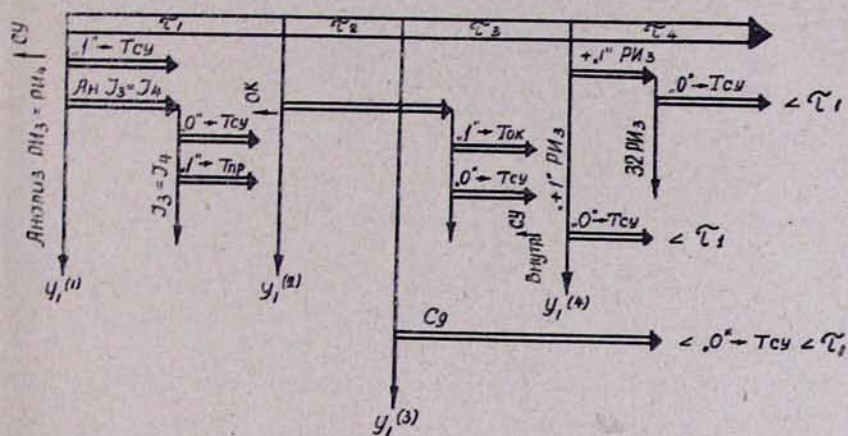


Рис. 4. Примерная временная диаграмма работы СУ.

Из диаграммы, в частности, видно, что работа определителя конструкции [1], включая установку триггера ТОК, может закончиться до наступления момента времени τ_3 (необходимо успеть заблокировать сигнал „+1“ РИ₃), однако проверка старших разрядов регистров $P_1 - P_3$ схемой ОК должна быть завершена раньше, чем наступит момент времени τ_2 , так как к этому времени начинается процесс сдвига регистров. Этот сдвиг должен быть, в свою очередь, завершен к моменту времени τ_4 , чтобы, начиная с этого момента, схема ОК могла провести очередной анализ старших разрядов. Из диаграммы также видно, что время одного цикла автомата СУ должно быть не меньше времени, необходимого для сдвига содержимого регистров P_1 , P_2 , P_3 на один разряд, плюс время анализа старших разрядов регистров схемой ОК.

* В дальнейшем изложении символом τ будет обозначаться момент времени, когда появляется сигнал на выходе соответствующего элемента задержки.

По окончании работы схема СУ выдает сигнал конца операции СУ и одновременно содержимое регистра адреса [2] команды увеличивает на единицу.

Перейдем к описанию операций, выполнение которых включает в себя сдвиги. Список этих операций с соответствующими кодами дан в табл. 7.

Таблица 7

№	Операции	Значения разрядов 6, 7, 10 РК
1	$C_3 \quad P_3$	010
2	$C_9 \quad P_3$	011
3	$C_3 \quad P_4$	111
4	$C_9 \quad P_4$	110
5	ПЕ	001
6	ПК	000
7	ПКИ	100

Для удобства дешифрации выходных шин РК и простоты логических схем управления коды операций этих команд отнесены к одной группе (состояния триггеров 4 РК и 5 РК для всех команд одинаковые). При кодировке было учтено также и то, что операции 1—5, с точки зрения их реализации, значительно отличаются от операций 6 и 7 (в кодах последние разряды 7 и 10 равны нулю).

Приведем характеристики всех операций, а также требования, предъявляемые к ним.

1. Количество сдвигов при выполнении команд 1—5 определяется числом, заданным в регистре РИ₄. Там же задается номер разряда, с которого следует производить поиск конструкции при выполнении команд 6—7. Результат сравнения содержимого РИ₃ с содержимым РИ₄ фиксируется триггером ТПР. Правая граница поиска для этих команд определяется количеством секций, в пределах которых намечается производить поиск. Если команды 6 и 7 выполняются с записью результата операции, то обрабатываемое слово должно иметь длину в один отрезок.

2. Номера компонент конструкций, расположенных на регистрах Р₁, Р₂, Р₃, необходимо получить соответственно в регистрах РИ₁, РИ₂, РИ₃. После нахождения конструкции триггер ТОК устанавливается в единичное состояние (в котором остается до поступления новой команды ПК), а в РИ₃ и РИ₄ вырабатывается номер того разряда, в котором была найдена последняя компонента. Результат выполнения операции 5 необходимо получить в регистре РИ₁, а сдвиг обрабатываемого слова производить в регистре Р₃.

3. В случае обнаружения конструкции или отсутствия конструкции с итерационной скобкой процесс сдвигов прекращается.

4. При выполнении операций 6 и 7 производится одновременный сдвиг регистров P_1 , P_2 , P_3 влево, независимо от числа компонент. Последнее условие диктуется способом реализации команд 6 и 7 схемой ОК.

Для удобства записи приведенных ниже функций введем обозначения для некоторых сигналов УЦУ и СУ (см. табл. 8).

Таблица 8

<i>Единичное знач. ТСУ</i>	A_1
— “ — “ — Ток	A_2
— “ — “ — Тпр	A_3
— “ — “ — $D P_3$	A_6
<i>Условие СЧМС = 0</i>	A_{11}
<i>Сигнал запуска СУ</i>	λ_6
<i>Условие РИ₃ = РИ₄</i>	λ_7
<i>Дифференциальный выход 8РИ₃</i>	λ_8
<i>Ответ об отсутствии конструкции</i>	λ_9
<i>Условие СЧМС = 40 ÷ 42 РК</i>	λ_{10}
<i>Сигнал передачи Ток — Тпр</i>	λ_H

Ниже приводятся уравнения булевых функций, реализующих все выходные сигналы СУ. Уравнения эти выведены на основании логической структуры машины и условий, приведенных выше в п. п. 1—4.

Так как триггер ТСУ при работе СУ всегда находится в единичном состоянии, а при прекращении работы СУ устанавливается в нулевое состояние, то входное уравнение установки триггера в единичное состояние будет зависеть только от сигнала «Зап. СУ»

$$f_5^{(1)} = \lambda_6.$$

Тем же сигналом λ_6 , но уже при выполнении условий, приведенных выше, производится установка в нулевое состояние триггера ТОК:

$$f_5^{(2)} = \lambda_6 (c_7 \vee \bar{h}_1 \vee a_{11}) h_1,$$

а также триггера ТПР и регистра РИ₃:

$$f_5^{(3)} = \lambda_6 (c_7 \vee \bar{h}_1 \vee a_{11}).$$

На следующем этапе работы СУ сигналом $y_1^{(1)}$ выдается сигнал анализа содержимого РИ₃ и РИ₄ и производится — в случае необходимости — изменение состояния триггеров ТСУ или ТПР. Уравнениями этих функций будут соответственно:

$$f_5^{(4)} = y_1^{(1)} \bar{a}_2;$$

$$f_5^{(5)} = y_1^{(1)} a_2 \vee \lambda_7 \bar{h}_7 \vee \lambda_8 (\bar{c}_8 \vee c_7) \vee \lambda_9 \bar{a}_8;$$

$$f_5^{(6)} = \lambda_7 \vee \lambda_{11} \bar{c}_7 \vee \lambda_{10}.$$

Сигналом $y_1^{(2)}$ при ТСУ = 1 запускается следующий тakt СУ и выдается сигнал:

$$f_5^{(7)} = y_1^{(2)} a_1 a_3.$$

При ТСУ = 0 выдаются следующие сигналы, связанные с окончанием работы СУ:

конец операции

$$f_5^{(8)} = y_1^{(2)} \bar{a}_1;$$

передача содержимого РИ₃ в РИ₄

$$f_5^{(9)} = y_1^{(2)} \bar{a}_1 h_7;$$

увеличение содержимого РАК на единицу

$$f_5^{(10)} = y_1^{(2)} \bar{a}_1 (h_7 (a_2 \vee h_2) \vee \bar{h}_7 (\bar{c}_7 h_2 \vee a_3)) \vee \lambda_{10} (\bar{c}_6 \vee h_7);$$

анализ на равенство содержимого СЧМС с разрядами 40 ÷ 42 РК

$$f_5^{(11)} = y_1^{(2)} \bar{a}_1 (\bar{c}_7 \bar{h}_7 \vee \bar{a}_2 h_7) h_2;$$

увеличение содержимого СЧМС на единицу

$$f_5^{(12)} = y_1^{(2)} \bar{a}_1 (\bar{c}_7 \bar{h}_7 \vee \bar{a}_2 h_7) h_1 h_2.$$

Во время следующего этапа работы СУрабатываются сигналы сдвигов регистров:

сдвиг содержимого регистров Р₁ и Р₂ влево

$$f_5^{(13)} = y_1^{(3)} \bar{c}_{10} (\bar{c}_6 \vee \bar{c}_7) \dot{\bar{P}}_1.$$

$$f_5^{(14)} = y_1^{(3)} \bar{c}_{10} (\bar{c}_6 \vee \bar{c}_7) \dot{\bar{P}}_2;$$

сдвиг содержимого регистра Р₃ влево или вправо

$$f_5^{(15)} = y_1^{(3)} (\bar{c}_{10} (c_6 \vee c_7) \vee \bar{c}_8 (c_7 \vee c_{10})) \dot{\bar{P}}_3,$$

$$f_5^{(16)} = y_1^{(3)} (\bar{c}_{10} (c_6 \vee c_7) \vee \bar{c}_6 (c_7 \vee c_{10})) \bar{P}_3;$$

сдвиг содержимого регистра P_4 влево

$$f_5^{(17)} = y_1^{(3)} c_6 c_7 \sum P_4.$$

Процесс сдвигов P_1 , P_2 , P_3 осуществляется с помощью одновременной подачи на регистры сигналов установки на нуль и одного из сигналов разрешения \bar{P}_i , \bar{P}_t , $\sum P_i$ в зависимости от того, содержимое какого регистра и в какую сторону сдвигается (см. § 2 настоящей статьи).

На последнем такте каждого цикла работы СУ производится увеличение содержимого счетчика циклов на единицу:

$$f_5^{(18)} = y_1^{(4)} (\bar{a}_2 \vee \bar{h}_2),$$

после чего цикл работы СУ повторяется.

Ա. Գ. ՀՈՎՀԱՆՆԻՍՅԱՆ, Ա. Լ. ՈՒԽՈՒՏՅԱՆ

ԳՈՐԾՈՂՈՒԹՅՈՒՆՆԵՐԻ ՍԱՐՔ

Ա. Մ Փ Ա Փ Ա Կ Մ

«Գառնի» թարգմանական մեքենայի գործողությունների սարքը բաղկացած է տրամարանական հանգույցից, կառուցվածքների որոշիչից, տեղաշարժող հանգույցից և տեղական զեկավարման սխեմաներից: Այդ սարքը նախատեսված է հիմնականում տրամարանական և թվարանական գործողություններ կատարելու համար: Առանձին դեպքերում այն կատարում է արտաքին ու հիշող սարքերի միջև միջանկյալ օդակի դեր:

Տրամարանական հանգույցը բաղկացած է 4 մեծ (32—36 կարգ) և 5 փոքր (6—14 կարգ) թվային ուղիղացրներից, որոնք միմյանց հետ կապված են ինֆորմացիայի ընդունման և հաղորդման փականներով: Ուղիղացրներից երկուաը (Р3 և Р4) ունեն երկկողմանի կապի համարավորություն ներքին հիշողության հետ. Մի ուղիղացր (РО) նախատեսված է արտաքին սարքերին ինֆորմացիա հաղորդելու և մեկն էլ (РИ4)* արտաքին սարքերից ինֆորմացիա ընդունելու համար: Տեղաշարժող հանգույցի օգնությամբ կատարվում են մեծ ուղիղացրների վրա գտնվող թվերի տեղաշարժում դեպի ձախ, իսկ Բ3 ուղիղացրի վրա՝ նաև աջ: Անհրաժեշտության դեպքում բոլոր 4 ուղիղացրները կարող են միանալ և կազմել մեկ ուղիղացր:

Տեղական զեկավարման սխեմաները իրականացնում են գործողությունների կատարումը սարքում: Պարզվում է, որ կախված էլեմենտների բնույթից, այդ սխեմաների սինթեզը կատարվում է տարրեր մեթոդներով:

Ուսումնասիրվել են իմպուլս-պոտենցիալյային տրամարանական էլեմենտների օգտագործմամբ, մի քանի ելքերով միատակտ զեկավարական սխեմաների կառուցումը:

ЛИТЕРАТУРА

1. А. Г. Ованисян, Р. Л. Урутян. Определитель конструкции. Настоящий сборник.
2. Р. Л. Урутян. Устройство центрального управления. Настоящий сборник.
3. Н. В. Варданян, Э. В. Егизарян, Р. Л. Урутян. Организация словаря машины «Гарни». Настоящий сборник.
4. А. Г. Ованисян. Формирование исполнительных адресов запоминающих устройств. Настоящий сборник.
5. В. М. Глушков. Синтез цифровых автоматов. Физматгиз, 1962.
6. Р. Л. Урутян. Система команд машины «Гарни». Настоящий сборник.